3. Procesamiento Digital de Imágenes

3.1 Transformada discreta de Fourier en 2D

Una señal periódica con períodos N_1 y N_2 en sus coordenadas x_1 y x_2 , respectivamente, tiene una trasformada de Fourier definida como

$$\bar{F}[k_1, k_2] = \sum_{n_1=0}^{N_1-1} \sum_{n_2=0}^{N_2-1} \bar{f}[n_1, n_2] W_{N_1}^{-k_1 n_1} W_{N_2}^{-k_2 n_2}$$

y una trasformada inversa

$$\bar{f}[n_1, n_2] = \frac{1}{N_1 N_2} \sum_{k_1=0}^{N_1-1} \sum_{k_2=0}^{N_2-1} \bar{F}[k_1, k_2] W_{N_1}^{k_1 n_1} W_{N_2}^{k_2 n_2}$$

3.2 Convoluciones discretas en 2D

Una convolución discreta en 2D se puede definir como

$$f_1 * f_2[n_1, n_2] = \sum_{k_1 \in \mathbb{Z}} \sum_{k_2 \in \mathbb{Z}} f_1[k_1, k_2] \ f_2[n_1 - k_1, n_2 - k_2]$$

Si f₂ es un filtro separable de manera que el cálculo de la convolución se reduce a

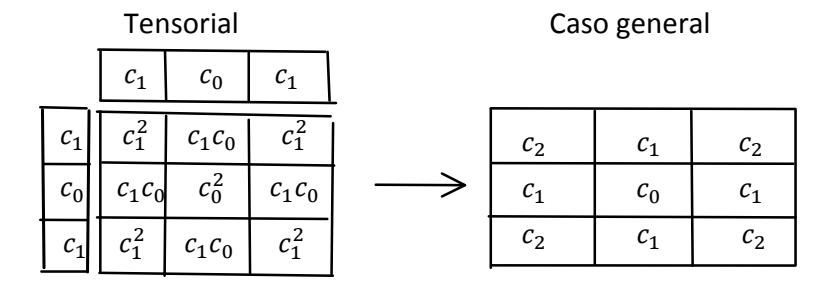
$$f_2[n_1, n_2] = f_{21}[n_1] \cdot f_{22}[n_2]$$

$$f_1 * f_2[n_1, n_2] = \sum_{k_2 \in \mathbb{Z}} f_{22}[n_2 - k_2] \left\{ \sum_{k_1 \in \mathbb{Z}} f_1[k_1, k_2] \ f_{21}[n_1 - k_1] \right\}$$

Lo que significa que la convolución se puede calcular primero a lo largo de las filas y luego a lo largo de las columnas en forma consecutiva (en cascada). A este tipo de funciones las denominaremos funciones de producto tensorial.

Notar que en el caso de las transformadas de Fourier tanto discretas como continuas, el cálculo siempre se puede aplicar en a lo largo de las filas y luego a lo largo de las columnas en forma consecutiva. En el caso de los filtros en 2D solamente los filtros que se pueden descomponer en producto tensorial pueden ser calculados en forma independiente.

3.3 Ejemplo de funciones de máscara en 2D (soporte compacto)



Las máscaras son simétricas de modo que la fase de éstas sea cero o sea lineal. Si se tiene una función desplazada y si

$$f[n_1, n_2] \overset{\mathcal{F}}{\leftrightarrow} \hat{F}[k_1, k_2] = \sum_{n_1=0}^{N_1-1} \sum_{n_2=0}^{N_2-1} f[n_1, n_2] W_{N_1}^{-k_1 n_1} W_{N_2}^{-k_2 n_2} \in \mathbb{R}$$

y cualquier función trasladada

$$f[n_1 - m_1, n_2 - m_2] \overset{\mathcal{F}}{\leftrightarrow} \hat{F}[k_1, k_2] \underbrace{W_{N_1}^{k_1 m_1} W_{N_2}^{k_2 m_2}}_{\text{Fase lineal en } k_1 \text{ y } k_2}$$

Pues tenemos que $\sphericalangle W_{N_1}^{k_1m_1}=(2\pi k_1m_1)/N_1$ y $\sphericalangle W_{N_2}^{k_2m_2}=(2\pi k_2m_2)/N_2$ son funciones lineales en k_1 y k_2 , respectivamente

Por otro lado,
$$\left|W_{N_1}^{k_1m_1}\right|=1, \ \left|W_{N_2}^{k_2m_2}\right|=1$$

Recordar que en 1D, si $\sphericalangle F(k) = 0$, entonces f[n] es función par



Para hacer un análisis de los filtros, conviene utilizar la transformada de Fourier de señales discretas será:

$$\widehat{F}(\Omega_1, \Omega_2) = \sum_{n_1 \in \mathbb{Z}} \sum_{n_2 \in \mathbb{Z}} f[n_1, n_2] e^{-j\Omega_1 n_1} e^{-j\Omega_2 n_2}$$

Que es una función periódica con período 2π

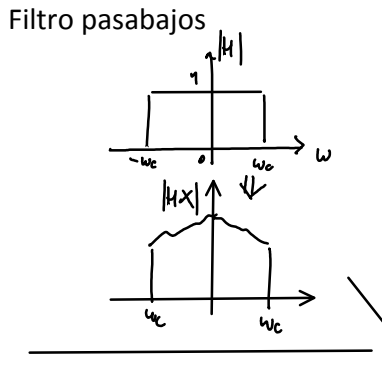
Es deseable tener filtros h() lo más isotrópicos (simetría circular, invariantes ante la traslación), porque si la imagen es obtenida en forma rotada, lo ideal es que el filtro no privilegie en especial ninguna orientación.

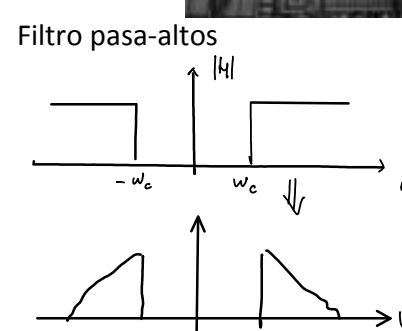
3.4 Generalizando las respuestas de frecuencia

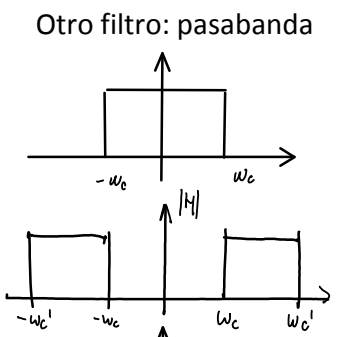
Si se tiene una señal en el Imagen espacio de Fourier ↑ (🗗 original Recordar la



 $f_1 \otimes f_2(x) \stackrel{\mathcal{F}}{\Longleftrightarrow} F_1(\omega) \cdot F_2(\omega)$ propiedad

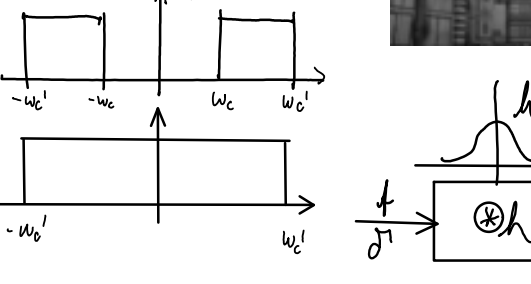












Point Spread Function (Impulse Response) Inverse

> function L' Sh = 5

Una forma de generar un filtro pasa-bajos

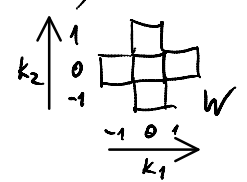
$$\mathcal{L}_{HP}(t) = \mathcal{J}(t) - \mathcal{L}_{LP}(t) \longleftrightarrow \mathcal{H}_{HP}(\omega) = 1 - \mathcal{H}_{LP}(\omega)$$

3.5 Filtrado de imágenes - Operaciones espaciales

3.5.1 Filtro de Media: un filtro de media se puede definir como

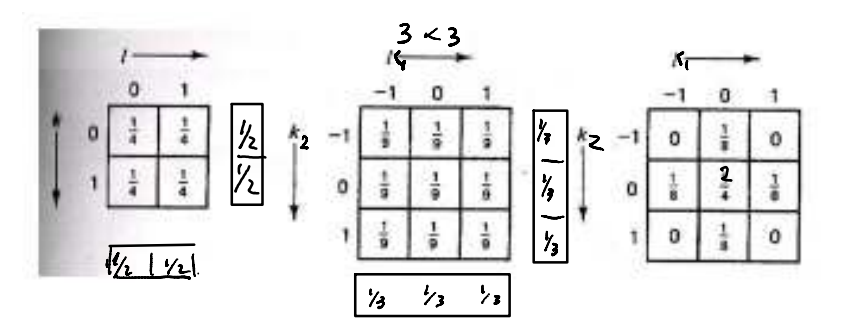
$$V(n_1, n_2) = \frac{1}{N_W} \sum_{(k_1, k_2) \in W} + (n_1 - k_1, n_2 - k_2)$$

donde W es la región dela ventana donde el proceso es equivalente a una media móvil, siendo un caso específico de filtro pasa-bajos.



3.5.2 Filtros pasa-bajos: Recordemos que una máscara (filtro) se aplica según

$$V(n_1, n_2) = \sum_{(k_1, k_2) \in W} C[k_1, k_2] + [n_1 - k_1, n_2 - k_2]$$



Caso 1D

Respuesta de frecuencia:

Ejemplo media móvil: $c_0 = c_1 = 1 / 3$

Ejemplo $c_0 = 0$

Caso 2D

1. Producto tensorial 3x3

	c_1	c_0	c_1
c_1	c_{1}^{2}	c_1c_0	c_{1}^{2}
c_0	c_1c_0	c_{0}^{2}	c_1c_0
c_1	c_{1}^{2}	c_1c_0	c_{1}^{2}

$$H(\Omega_1, \Omega_2) = (2 c_1 \cos \alpha_1 + c_2)$$

$$\cdot (2 c_1 \cos \Omega_2 + c_2)$$

$$|-\alpha_1|, |\Omega_2| \leqslant \pi$$

es una función periódica

2. Máscara 3x3 Genérica (simétrica)

c_2	c_1	c_2
c_1	c_0	c_1
c_2	c_1	c_2

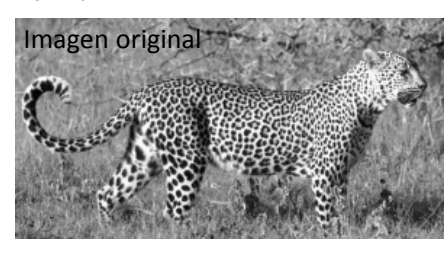
Con la relación de la frecuencia para funciones discretas

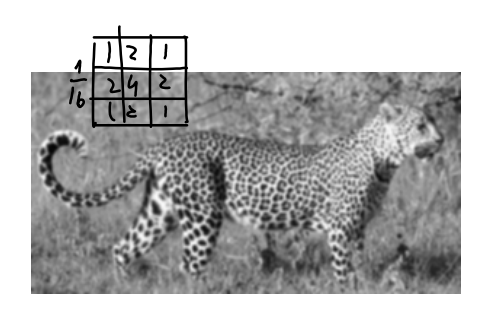
$$\Omega_1 = W_1 T_1$$
, $\Omega_2 = W_2 T_2$

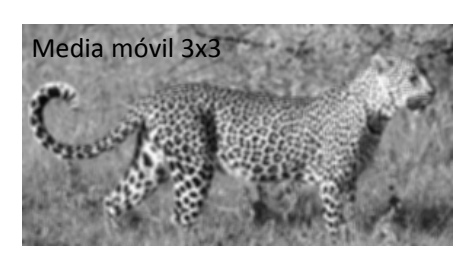
$$\frac{1}{H(\Omega_1, \Omega_2)} = C_0 + C_1(2 \cos \Omega_1 + 2 \cos \Omega_2) + C_2 2 \cos \Omega_1 2 \cos \Omega_2$$

$$= C_0 + 2C_1(\cos \Omega_1 + \cos \Omega_2) + 4C_2 \cos \Omega_1 \cos \Omega_2$$

Ejemplos:



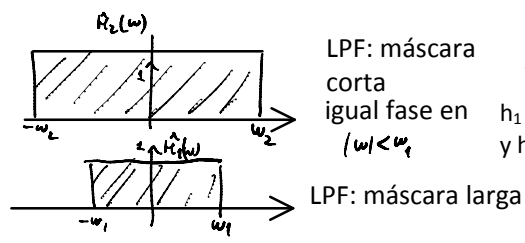




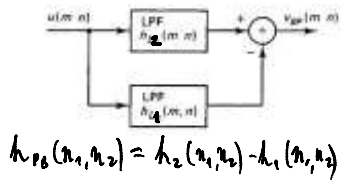


3.6 Otros ejemplos de filtros 2D

Diferencia de filtros pasa-bajos:



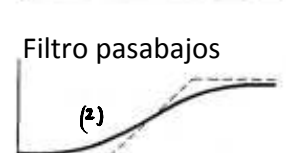
LPF: máscara corta /w/< m,

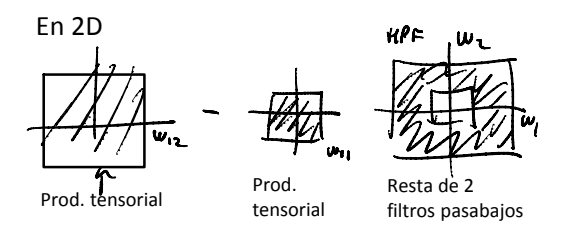


igual fase en h₁ es típicamente de extensión larga y h₂ es un filtro de extensión corta



Filtro pasabanda ideal

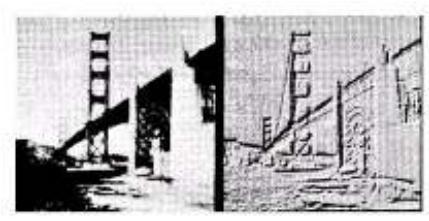




Filtro pasaaltos

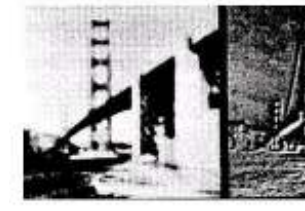
En general utilizaremos productos tensoriales en los filtros. Hay formas de diseñar respuestas de frecuencia en 1D y extender al en forma radial: Transf. de McLellan

Ejemplos





con filtro pasa-altos



(1) + 3.031

con filtro pasa-bajos

con filtro pasa-banda

3.7 Filtrado pasa-bajos 2D

$$\frac{+\ln 1}{d\ln 1} + \ln 1 = \begin{cases} 1 & m=0 \\ 0 & m\neq 0 \end{cases}$$

$$9 [n_1, n_2] = \frac{1}{4} \left\{ f[n_1, n_2] + f[n_1, n_{z-1}] + f[n_{z-1}, n_{z-1}] + f[n_{z-1}, n_{z-1}] \right\}$$

$$Si \quad h[n_1, n_2] = \begin{cases} \frac{1}{4}, 0 \leq n_1 \leq 1, 0 \leq n_2 \leq 1 \\ 0, 0 \leq n_2 \leq 1 \end{cases}$$

$$g[n_1, n_2] = k + f[n_1, n_2]$$

= $\sum_{k_1, k_2 \in \mathbb{Z}} d[n_1 - k_1, n_2 - k_2] f[k_1, k_2]$

$$\frac{1}{2} \left[(n_1, n_2) = \frac{1}{4} \left(\int_{-1}^{1} [n_1, n_2] + \int_{-1}^{1} [n_1, n_2] + \int_{-1}^{1} [n_1 - 1, n_2] +$$

Fase
$$\left| \tilde{\mathbb{H}} \left(\Omega_{1}, \Omega_{2} \right) \right| = \left| \omega \Omega_{1}^{2} \omega \Omega_{2}^{2} \right| + \left| \left(e^{j \Omega_{1}}, e^{j \Omega_{2}} \right) \right| = -\frac{\Omega_{1} + -\Omega_{2}}{2}$$

Otros ejemplos 2D

Media móvil de 3x3

1/9	1/9	4
1/9	/9	1/9
1/9	1/4	1/9

En general

C,	c,	$C_{\mathbf{Z}}$
C3	C4	C
C6	C^{\flat}	Ce

3.8 Filtrado mediante diferenciación en 2D

Derivadas direccionales, diferencia en

b) Dirección 2:
$$g[n_1, n_2] = f[n_1, n_2] - f[n_1, n_2-1]$$

$$\downarrow f = \delta^{r}$$

$$\downarrow f[n_1, n_2] = J[n_1, n_2] - J[n_1, n_2-1]$$

$$\downarrow f = \delta^{r}$$

$$\downarrow f =$$

3.9 Discretización del Laplaciano

Ej.: Doble diferencia (discretización $\frac{d^2f}{dx^2} = \frac{d}{dx} \left(\frac{df}{dx} \right)$)

$$h * h [n] = \sigma[n] - 2 \sigma[n-1] + \sigma[n-2]$$

En 2D podemos tener lo mismo:

Máscara en dirección 1 1 2 1 0 1 0

Dirección 2 $\frac{d^2f}{dx_2^2} \rightarrow \frac{1}{2}$

Sumando las 2 segundas derivadas se tiene el laplaciano:
$$\frac{d^2t}{dx_1^2} + \frac{d^2t}{dx_2^2} = \sqrt[3]{t} \implies \begin{vmatrix} 0 & 1 \\ 1 & -4 \end{vmatrix}$$

$$\nabla^{\mathsf{T}} \cdot \nabla = \triangle = \frac{\partial^2}{\partial x_{12}} + \frac{\partial^2}{\partial x_{2}^2} \text{ Laplaciano (escalar)}$$

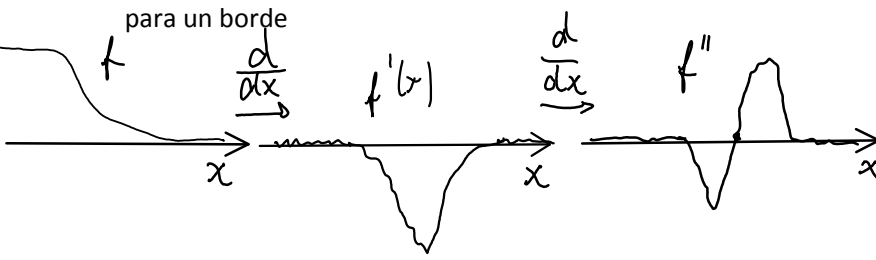
Discretización de 1er orden del Laplaciano

 $\nabla \nabla^{\frac{1}{2}} = \begin{bmatrix}
\frac{\partial^{2}}{\partial x_{1}^{2}} & \frac{\partial^{2}}{\partial x_{1} \partial x_{2}} \\
\frac{\partial^{2}}{\partial y_{1} \partial x_{2}} & \frac{\partial^{2}}{\partial x_{2}^{2}}
\end{bmatrix}$ Hessiano (matriz)

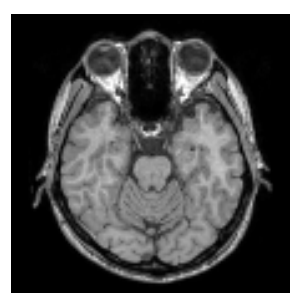
Al of

Al derivar una vez, se puede encontrar el máximo o mínimo

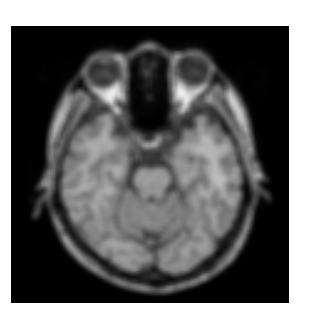
Al derivar 2 veces, se puede encontrar los cruces por cero para encontrar un borde



3.10 Ejemplos con imágenes médicas



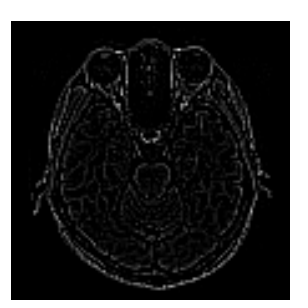




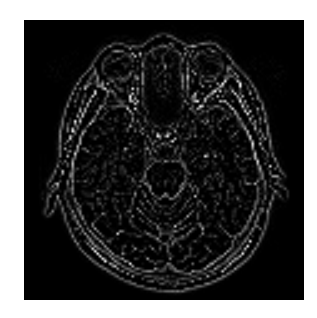
Media móvil 3x3

Filtro pasa-altos

2*(Orig - LPF3x3)



Filtro Laplaciano

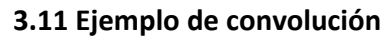


Discretización 1er orden





Discretización orden superior

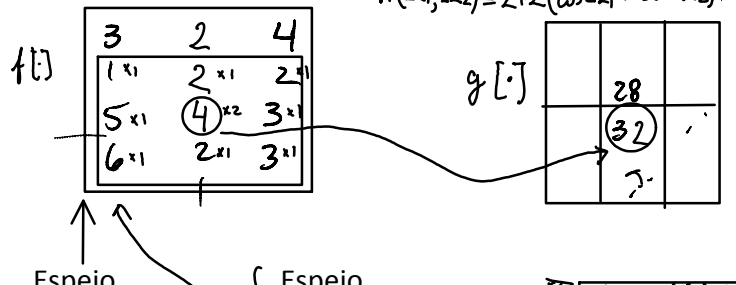


Usando la máscara: ん[·]

رر	Cı	cչ
C	c _o	Cı
دړ	c۱	Cر

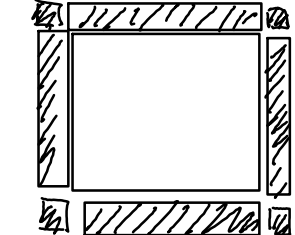
sobre la imagen

H(1,2,2)=2+2(con,+con2)+4con,con2



Espejo Sample Espejo full-sample

	3	3 :	2	2		2
-	3	3 :	,	2	> -	~
	1		۷ 2	2 (2
	5	5	4	4 5	-	4



Hay que rellenar los bordes según criterio de borde (half-, full-sample)

